

*хорошо*

[vk.com/club152685050](https://vk.com/club152685050)

[vk.com/id446425943](https://vk.com/id446425943)

ОТЧЁТ  
ЗАЩИЩЁН С ОЦЕНКОЙ  
ПРЕПОДАВАТЕЛЬ

*Г.П.* 26.05.17  
к.ср.м.н

Новикова Ю. А.

ОТЧЁТ К ЛАБОРАТОРНОЙ РАБОТЕ №10.  
ОПРЕДЕЛЕНИЕ СКОРОСТИ ЗВУКА В ВОЗДУХЕ.

РАБОТУ ВЫПОЛНИЛ  
СТУДЕНТ ГРУППЫ 1641

19.05.17. *Морозова*

Морозова Е. А.

I. ЦЕЛЬ РАБОТЫ: ОПРЕДЕЛЕНИЕ СКОРОСТИ РАСПРОСТРАНЕНИЯ ЗВУКОВЫХ ВОЛН В ВОЗДУХЕ.

II. ОПИСАНИЕ ЛАБОРАТОРНОЙ РАБОТЫ:

ЭЛЕКТРИЧЕСКИЕ КОЛЕБАНИЯ ЗВУКОВОЙ ЧАСТОТЫ, ПОЛУЧЕННЫЕ ПРИ ПОМОЩИ ГЕНЕРАТОРА 1, ПОДАЮТСЯ ОДНОВРЕМЕННО НА ПЛАСТИНЫ X ОСЦИЛЛОГРАФА 2 И НА ТЕЛЕФОН 5. ЗВУК ОТ ТЕЛЕФОНА РАСПРОСТРАНЯЕТСЯ ВОДЬ ПОЛОЙ ТРУБЫ 3 И ДОСТИГАЕТ МИКРОФОНА 4. В ЭЛЕКТРИЧЕСКОЙ ЦЕПИ МИКРОФОНА ВОЗНИКАЕТ ЭЛЕКТРИЧЕСКИЙ СИГНАЛ ТАКОЙ ЖЕ ЧАСТОТЫ, ЧТО И НА ВЫХОДЕ ГЕНЕРАТОРА, НО С НЕКОТОРОЙ ЗАДЕРЖКОЙ ПО ФАЗЕ. ЭТОТ СИГНАЛ ПОДАЕТСЯ НА ПЛАСТИНЫ Y ОСЦИЛЛОГРАФА. НА ЭКРАНЕ ПОЯВЛЯЕТСЯ ЭМИССИОННАЯ ФОРМА КОТОРОГО ЗАВИСИТ КРОМЕ ВСЕГО ПРОЧЕГО ОТ РАЗНОСТИ ФАЗ КОЛЕБАНИЙ, ПОДАВАЕМЫХ НА ФАЗОВЫЕ ПЛАСТИНЫ ОСЦИЛЛОГРАФА. ПРИ ИЗМЕНЕНИИ РАССТОЯНИЯ, КОТОРОЕ МОЖНО ИЗМЕРИТЬ ЛИНЕЙКОЙ 6, МЕЖДУ ТЕЛЕФОНОМ И МИКРОФОНОМ ИЗМЕНЯЕТСЯ РАЗНОСТЬ ФАЗ КОЛЕБАНИЙ, А СЛЕДОВАТЕЛЬНО, И ФОРМА ЭМИССИИ.

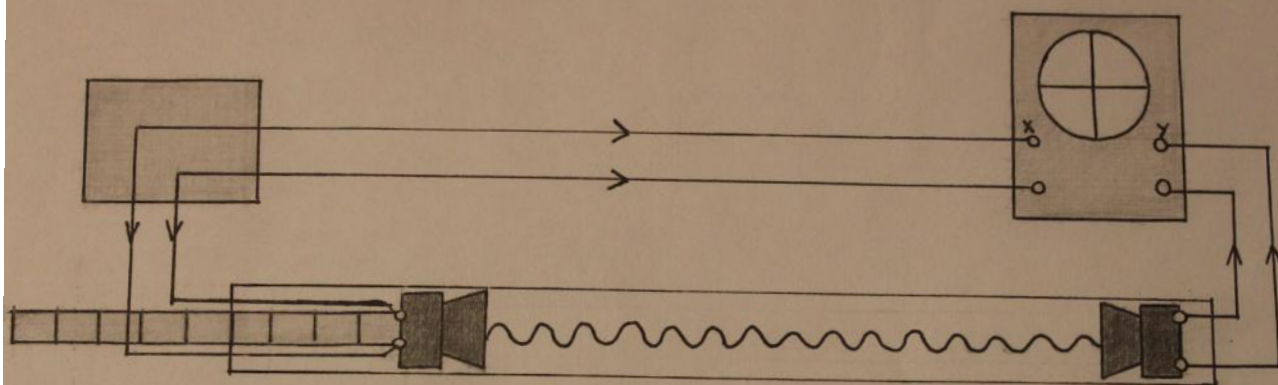


РИС 2.1. БЛОК-СХЕМА ЛАБОРАТОРНОЙ УСТАНОВКИ.

III. РАБОЧИЕ ФОРМУЛЫ:

1. СКОРОСТЬ ЗВУКА В ВОЗДУХЕ:  $v = \lambda \nu$  (3.1)

2. ФОРМУЛА ДЛЯ ТЕОР. РАСЧЕТА СКОРОСТИ ЗВУКА В ВОЗДУХЕ:  $v = \sqrt{\frac{\gamma R T}{M}}$  (3.2)  
T - АБС. ТЕМПЕР.  
R - УН. ГАЗ. ПОСТ.  
M - МОЛ. МАССА ВОЗД.

3. АБСОЛЮТНАЯ МИНИМАЛЬНАЯ ТЕМПЕРАТУРА:  $T = t + 273,15$  (K) (3.3)

4.  $\Delta l = \frac{\lambda}{2}$  И (3.4)

5.  $\lambda = \frac{v}{\nu}$  (3.5)

IV. РЕЗУЛЬТАТЫ ИЗМЕРЕНИЙ И ВЫЧИСЛЕНИЙ:

ТАБЛ. 1.

Сх. А.

ДЛИНЫ ЧАСТОТЫ	$l_1$	$l_2$	$l_3$	$l_4$
900 Гц	19 (см)	38,5 (см)	58 (см)	77,5 (см)
1000 Гц	15 (см)	33 (см)	50 (см)	67,5 (см)
1200 Гц	13 (см)	28 (см)	42 (см)	71 (см)

$t = 21^\circ \text{C}$

$T = 294,15$  (K)



ТАБЛ. 2

Сх. В.

Частота	$\Delta l$ средняя	$v$ теоретич.	$\lambda$ среднее	$v_{ср.}$
900 Гц	48,25 (см)	343 (м/с)	0,965 (м)	351 (м/с)
1000 Гц	41,375 (см)	343 (м/с)	0,827 (м)	351 (м/с)
1200 Гц	38,5 (см)	343 (м/с)	0,770 (м)	463,2 (м/с)

## V. ПРИМЕРЫ ВЫЧИСЛЕНИЙ:

5.1. Для таблицы 2 сх. В. по формуле 3.2:  $v = \sqrt{\frac{\gamma R T}{M}} = \sqrt{\frac{1,4 \cdot 8,314 \cdot 294,15}{0,0291}} = \sqrt{\frac{17118,94}{0,0291}} = 343 \text{ (м/с)}$

5.2. Для таблицы 2 сх. В. по формуле  $\Delta l_{ср} = \frac{19 + 38,5 + 58 + 77,5}{4} = 48,25 \text{ (см)}$

5.3. Для таблицы 2 сх. В. по формуле  $\lambda_{ф} = \frac{\lambda_1 + \lambda_2 + \lambda_3 + \lambda_4}{4}$ ;  $\lambda = \frac{2\Delta l}{n} = \frac{2\Delta l_{ф}}{\Delta \varphi}$ ;  $\Delta \varphi = \pi \cdot \lambda = 2\Delta l$ .

5.4. Для таблицы 2 сх. В. по формуле  $v_{ср} = \lambda \cdot \nu = 2 \lg n \cdot \nu = 39 \cdot 900 = 35100 \text{ (см/с)} = 351 \text{ (м/с)}$

## VI. ВЫЧИСЛЕНИЕ ПОГРЕШНОСТЕЙ:

$\Delta v = (v' \lambda) \Delta \lambda + |v \lambda| \Delta \nu$        $\Delta \lambda = 4 \cdot 10^{-3} \text{ (м)}$

$v' \lambda = (\lambda \nu)' \nu = \nu$

$\Delta \nu = 5 \text{ Гц}$

$\nu' \nu = (\lambda \nu)' \nu = \lambda$

$\Delta v = \nu \Delta \lambda + \lambda \Delta \nu$

6.1:  $\Delta v_1 = 900 \cdot 0,004 + 0,965 \cdot 5 = 3,6 + 4,825 = 8,425 \text{ (м/с)}$

$\Delta v_2 = 1000 \cdot 0,004 + 0,827 \cdot 5 = 4 + 4,135 = 8,135 \text{ (м/с)}$

$\Delta v_3 = 1200 \cdot 0,004 + 0,770 \cdot 5 = 4,8 + 3,85 = 8,65 \text{ (м/с)}$

## VII. Вывод:

Проблема данной лабораторной работы, я научилась экспериментально определять скорость звуковых волн в воздухе.

Провела расчёт средней скорости звуковых волн в воздухе: при частоте 900 Гц она равна 865,5 (м/с) при длине звуковой волны 0,965 (м); при частоте 1000 Гц она равна 825,5 (м/с) при длине звуковой волны 0,827 (м); при частоте 1200 Гц она равна 924 (м/с) при длине звуковой волны 0,770 (м).

Провела теоретический расчёт скорости звука в воздухе, она равна 343 (м/с)

Данная работа доказывает, что скорость звука не зависит от частоты.

[vk.com/club152685050](https://vk.com/club152685050)

[vk.com/id446425943](https://vk.com/id446425943)

- Дифференцированный зачет
- Книги
- ЛР Крутильный маятник
- ЛР Математический и физический маятники
- ЛР Машина Атвуда
- ЛР Маятник Максвелла
- ЛР Определение показателя адиабаты для воздуха
- ЛР Определение скорости звука в воздухе
- ЛР Определение электрического сопротивления
- ЛР Столкновение шаров
- Для протоколов Коваленко И.И.
- Коваленко Иван Иванович
- конспект1
- конспект2
- конспект3
- Лабораторный практикум
- Литвинова Надежда Николаевна
- Физика конспект

СКАЧАТЬ [https://yadi.sk/d/RqO8HPxTfh0z\\_w](https://yadi.sk/d/RqO8HPxTfh0z_w)

СКАЧАТЬ [https://archive.org/details/@guap4736\\_vkclub152685050](https://archive.org/details/@guap4736_vkclub152685050)



[vk.com/club152685050](https://vk.com/club152685050)  
[vk.com/id446425943](https://vk.com/id446425943)

## Лабораторная работа № 10

### ОПРЕДЕЛЕНИЕ СКОРОСТИ ЗВУКА В ВОЗДУХЕ

*Цель работы:* определение скорости распространения звуковых волн в воздухе.

#### *Теоретические сведения*

Звуковые волны представляют собой процесс распространения механических колебаний с частотами в диапазоне от 20 Гц до 20 кГц. Скорость звука  $v$  связана с длиной волны  $\lambda$  и частотой колебаний  $\nu$  соотношением:

$$v = \lambda \nu. \quad (10.1)$$

Скорость звука в воздухе можно теоретически рассчитать по формуле

$$v = \sqrt{\frac{7}{5} \cdot \frac{RT}{M}}, \quad (10.2)$$

в которой  $T$  – абсолютная температура;  $M = 0,0291$  кг/моль – молярная масса воздуха;  $R = 8,314$  Дж/К·моль – универсальная газовая постоянная.

Уравнение волны, распространяющейся вдоль оси ( $ox$ ), имеет вид

$$\xi(x, t) = A \cos(\omega t - kx). \quad (10.3)$$

В этой формуле  $\xi$  – смещение точки среды из положения равновесия, находящегося на расстоянии  $x$  от источника;  $\omega$  – циклическая частота колебаний;  $k = 2\pi/\lambda$  – волновое число. Фаза колебаний

$$\varphi = \omega t - kx = \frac{2\pi t}{T} - \frac{2\pi x}{\lambda} \quad (10.4)$$

зависит от времени и от положения точки. Разность фаз колебаний двух соседних точек зависит только от расстояния  $\Delta x$  между ними

$$\Delta\varphi = \frac{2\pi\Delta x}{\lambda}. \quad (10.5)$$

Таким образом, длину звуковой волны можно найти, измерив на опыте величины  $\Delta x$  и  $\Delta\varphi$ . Разность фаз колебаний можно определить методом сложения двух взаимно перпендикулярных колебаний.

Точка, совершающая одновременно два колебания во взаимно перпендикулярных направлениях, движется по замкнутым траекториям, называемым *фигурами Лиссажу*. В случае равенства частот эти фигуры представляют собой эллипсы, форма и ориентация которых зависит от амплитуд и от разности фаз складываемых колебаний.

Рассмотрим два гармонических колебания одинаковой частоты, одно из которых происходит вдоль оси ( $ox$ ), а другое – вдоль ( $oy$ ). Для простоты начальную фазу первого колебания положим равной нулю:

$$\begin{aligned}x &= A_1 \cos(\omega t), \\y &= A_2 \cos(\omega t + \Delta\varphi).\end{aligned}\tag{10.6}$$

Уравнение траектории точки, одновременно участвующей в этих двух колебаниях, найдем, исключив время  $t$  из уравнений (10.6):

$$\begin{aligned}&\begin{cases} x/A_1 = \cos \omega t, \\ y/A_2 = \cos \omega t \cos \Delta\varphi - \sin \omega t \sin \Delta\varphi; \end{cases} \Rightarrow \\ \Rightarrow &y/A_2 = (x/A_1) \cos \Delta\varphi - \sin \Delta\varphi \sqrt{1 - (x/A_1)^2}; \Rightarrow \\ &(x/A_1)^2 + (y/A_2)^2 - \frac{2xy \cos \Delta\varphi}{A_1 A_2} = \sin^2 \Delta\varphi.\end{aligned}\tag{10.7}$$

Получилось уравнение наклонного эллипса, ориентация и полуоси которого зависят от амплитуд  $A_1, A_2$  и от разности фаз  $\Delta\varphi$  (рис. 10.1, а). Если  $\Delta\varphi = 2\pi k$ , где  $k$  – целое число, получим уравнение отрезка прямой, проходящего через 1-й и 3-й квадранты (рис. 10.1, б):

$$y = (A_2/A_1)x.\tag{10.8}$$

Если  $\Delta\varphi = (2k+1)\pi$ , где  $k$  – целое число, получим уравнение отрезка прямой, проходящего через 2-й и 4-й квадранты (рис. 10.1, в):

$$y = -(A_2/A_1)x.\tag{10.9}$$

Если  $\Delta\varphi = (k+0,5)\pi$ , где  $k$  – целое число, получим уравнение эллипса, ориентированного вдоль координатных осей (рис. 10.1, г):

$$\left(\frac{x}{A_1}\right)^2 + \left(\frac{y}{A_2}\right)^2 = 1.\tag{10.10}$$

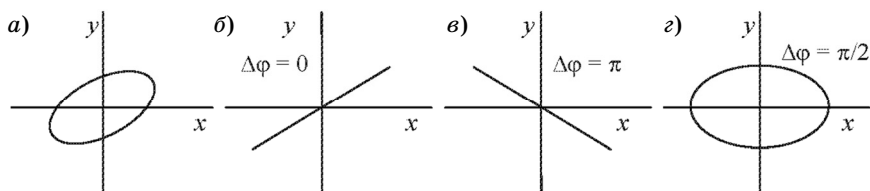


Рис. 10.1. Различные траектории движения точки

Таким образом, по форме наблюдаемого эллипса можно определить разность фаз колебаний  $\Delta\varphi$ . В дальнейшем особый интерес будут представлять случаи б и в, когда эллипс вырождается в отрезок. Эти случаи удобно наблюдать экспериментально. Существует, что изменение фазы от одного из них к другому составляет  $\Delta\varphi = \pi$ .

В настоящей работе звуковой сигнал с телефона попадает на микрофон, находящийся на расстоянии  $\ell$  от него. Сигналы с телефона и с микрофона подаются на отклоняющие пластины  $x$  и  $y$  электронного осциллографа соответственно. Расстояние  $\ell$  можно изменять и измерять во время эксперимента; вместе с ним, согласно формуле (10.5), меняется и разность фаз  $\Delta\varphi$  колебаний телефона и микрофона. Поскольку по картинке на экране осциллографа можно зафиксировать лишь разности фаз  $\Delta\varphi$  кратные  $\pi$ , при которых эллипс вырождается в отрезок, величина  $n = \Delta\varphi / \pi$  на опыте должна принимать только целые значения. Она увеличивается на единицу всякий раз, когда при увеличении расстояния  $\ell$  на экране эллипс превращается отрезок.

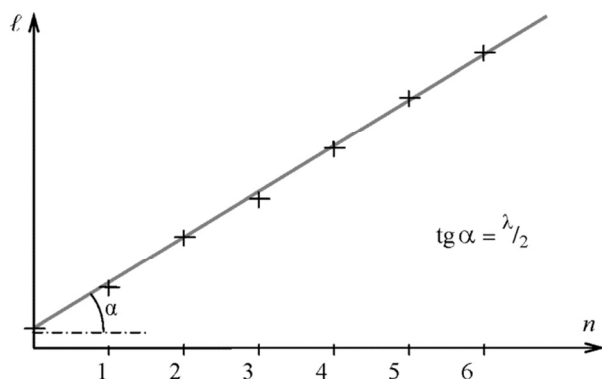


Рис. 10.2. Экспериментальная зависимость  $\ell$  от  $n$

С учетом сказанного формулу (10.5) можно переписать в виде

$$\Delta \ell = \frac{n\lambda}{2}. \quad (10.11)$$

Зависимость  $\ell(n)$  наблюдаемая в опыте (рис.10.2), должна представлять собой прямую линию, по угловому коэффициенту ( $k = \operatorname{tg} \alpha$ ) которой можно найти длину волны  $\lambda$ :

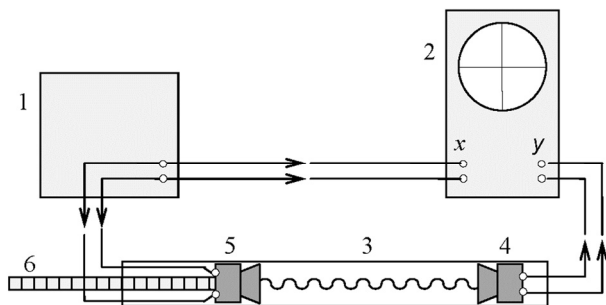
$$\lambda = 2 \operatorname{tg} \alpha. \quad (10.12)$$

Подставив полученное таким способом значение длины волны  $\lambda$  и установленную на звуковом генераторе частоту колебаний в формулу (10.1), можно найти скорость звуковых волн.

### *Лабораторная установка*

Блок-схема лабораторной установки приведена на рис. 10.3.

Электрические колебания звуковой частоты, полученные при помощи генератора 1, подаются одновременно на пластины  $x$  осциллографа 2 и на телефон 5. Звук от телефона распространяется вдоль полой трубы 3 и достигает микрофона 4. В электрической цепи микрофона возникает электрический сигнал на той же частоте, что и на выходе генератора, но с некоторой задержкой по фазе. Этот сигнал подается на пластины  $y$  осциллографа. На экране появляется эллипс, форма которого зависит кроме всего прочего от разности фаз колебаний, подаваемых на разные пластины осциллографа. При изменении расстояния, которое можно измерить линейкой 6, между телефоном и микрофоном изменяется разность фаз колебаний, а следовательно, и форма эллипса.



*Рис. 10.3. Блок-схема лабораторной установки*



## Задания и порядок их выполнения

**Задание 1.** Экспериментальное определение скорости звуковых волн в воздухе.

До начала измерений нужно на 2–5 мин включить для прогрева осциллограф и звуковой генератор.

Задание выполняется в следующем порядке.

Установить заданную частоту колебаний.

Пользуясь ручками настройки осциллографа и изменяя величину выходного напряжения, добиться на экране осциллографа четкого, устойчивого эллипса.

Перемещая телефон по трубе, добиться появления на экране прямой линии. Отметить это положение на шкале как  $\ell_1$ .

Медленно перемещая телефон в ту же сторону, снова получить на экране прямую линию, но уже наклоненную в другую сторону, т. е. проходящую через другие квадранты. Отметить соответствующее положение телефона как  $\ell_2$ .

Повторить предыдущий пункт столько раз, сколько это возможно и получить набор положений телефона  $\ell_1, \ell_2, \ell_3, \dots$ , в которых эллипс вырождается в отрезок прямой. Получить еще один такой же набор данных, перемещая телефон в обратном направлении, и усреднить результаты.

Построить график зависимости положения телефона  $\ell_n$ , от порядкового номера  $n$ , как это показано на рис.10.2.

Систематическую погрешность расстояния принять равной  $\theta_\ell = 2$  мм. Систематическую погрешность  $\theta_n$ , связанную с неточностью определения точки вырождения эллипса, не учитывать;  $\theta_n = 0$ .<sup>1</sup>

Графически найти длину звуковой волны  $\lambda$  и ее систематическую погрешность.

По формуле (10.1) найти скорость звуковых волн.

Повторить измерения для звукового сигнала другой частоты.

**Задание 2.** Теоретический расчет скорости звуковых волн в воздухе.

Вычисления нужно проводить по формуле (10.2), значения констант, необходимые для расчета, указаны в комментариях к формуле. Для определения температуры воздуха  $t$  °C нужно вос-

---

<sup>1</sup> В случае, когда эллипс не полностью вырождается в отрезок, следует считать  $\theta_n = 0,1$ .

пользоваться термометром. Абсолютную температуру  $T$  можно найти по формуле:

$$T(\text{K}) = t\text{ }^{\circ}\text{C} + 273,15\text{K}. \quad (10.13)$$

### ***Контрольные вопросы***

1. Что называется звуковой волной?
2. Чем отличаются волновые процессы от колебательных?
3. Что такое длина волны и чему она равна?
4. Запишите уравнение бегущей волны и поясните смысл всех величин, в нее входящих.
5. От чего зависит фаза волны? Чему равна разность фаз колебаний двух точек?
6. Получите уравнения траектории точки, участвующей в двух взаимно перпендикулярных колебаниях одинаковой частоты?
7. В каких случаях траектория вырождается в отрезок?
8. Как определяется длина звуковой волны в данной работе?
9. Как зависит скорость звука от температуры воздуха?